

Exercício de Programa 4

Caio Vinícius Dadauto 7994808

16 de junho de 2013

Problema I

A partir das condições iniciais $y(0) = 0$ e $\dot{y}(0) = 0$ e, ainda, da equação diferencial ordinária de segunda ordem,

$$\dot{z} = \dot{y} - y + t^3 - 3t^2 + 6t \quad (1)$$

$$z = \dot{y} \quad (2)$$

foram implementados dois programas com o intuito de determinar $y(5)$ e $\dot{y}(5)$. O primeiro programa aproxima tais valores aplicando o método de Euler, o qual segue logo abaixo.

Programa 1: Implementação para o método de Euler.

```
1 #include<stdio.h>
2 #include<math.h>
3 #define H 0.01
4
5 double funcao_z (double y_o, double t, double z_o) {
6 ...return z_o + H * (z_o - y_o + pow(t, 3) - 3 * pow(t, 2) + 6 * t);
7 }
8
9 double funcao_y (double y_o, double z_o) {
10 ...return y_o + H * z_o;
11 }
12
13 int main () {
14 ...int
15 .....i;
16 /* z = y ' */
17 ...double
18 .....y,
```

```

19  .....z,
20  .....z_o = 0,
21  .....y_o = 0,
22  .....t = 0;
23
24  ...for (i = 0; i < 5/H; ++ i) {
25  .....z = funcao_z (y_o, t, z_o);
26  .....y = y_o + H * z_o;
27  .....y_o = y;
28  .....z_o = z;
29  .....t += H;
30  ...}
31  ...printf ("y = %f\ty ' = %f\n", y_o, z_o);
32  ...return 0;
33  }

```

Já o segundo programa aplica o método de Runge-Kutta clássico de quarta ordem que segue abaixo.

Programa 2: Implementação para o método de Runge-Kutta.

```

1  #include<stdio.h>
2  #include<math.h>
3  #define H 0.01
4
5  double funcao (double y, double t, double z) {
6  ...return z - y + pow(t, 3) - 3 * pow(t, 2) + 6 * t;
7  }
8
9  int main () {
10 /* z = y ' */
11 ...int
12 .....i;
13 ...double
14 .....k_1z,
15 .....k_2z,
16 .....k_3z,
17 .....k_4z,
18 .....k_1y,
19 .....k_2y,
20 .....k_3y,
21 .....k_4y,
22 .....z = 0,
23 .....y = 0,
24 .....t = 0;
25
26 ...for (i = 0; i < 5/H; ++ i) {

```

```

27  .....k_1y = H * z;
28  .....k_1z = H * funcao (y, t, z);
29  .....k_2y = H * (z + k_1z / 2);
30  .....k_2z = H * funcao (y + k_1y / 2, t + H / 2, z + k_1z / 2);
31  .....k_3y = H * (z + k_2z / 2);
32  .....k_3z = H * funcao (y + k_2y / 2, t + H / 2, z + k_2z / 2);
33  .....k_4y = H * (z + k_3z);
34  .....k_4z = H * funcao (y + k_3y, t + H, z + k_3z);
35  .....z = z + (k_1z + 2 * k_2z + 2 * k_3z + k_4z) / 6;
36  .....y = y + (k_1y + 2 * k_2y + 2 * k_3y + k_4y) / 6;
37  .....t += H;
38  ...}
39  ...printf ("y = %.15f\nty ' = %.15f\n", y, z);
40  ...return 0;
41  }

```

Os valores obtidos para $y(5)$ e $\dot{y}(5)$, a partir do método de Euler e do método de Runge-Kutta, são apresentados a seguir:

Euler	$y(5) = 125.565125$ $\dot{y}(5) = 75.914657$
Runge-Kutta	$y(5) = 124.999999$ $\dot{y}(5) = 74.999999$

Como a solução da equação (1) é $y = t^3$, é claramente observável (analisando os resultados acima) que o método de Runge-Kutta é muito mais acurado que o método de Euler, assim como era esperado.

Problema II

Item 1

Item 1 - A

Para determinar o diagrama de fase ($\dot{x} \times x$) dado pela solução da equação do potencial de poço duplo,

$$\ddot{x} - \frac{x}{2}(1 - x^2) = 0 \quad (3)$$

foi implementado um programa que aplica o método de Runge-Kutta de quarta ordem com um passo de 0.05. O qual é responsável por aproximar os pontos do plano $\dot{x} \times x$.

O diagrama de fase foi plotado para três condições iniciais distintas de $\dot{x}(0)$ com $x(0) = -1$. Segue os diagramas obtido para cada uma das condições iniciais de $\dot{x}(0)$.

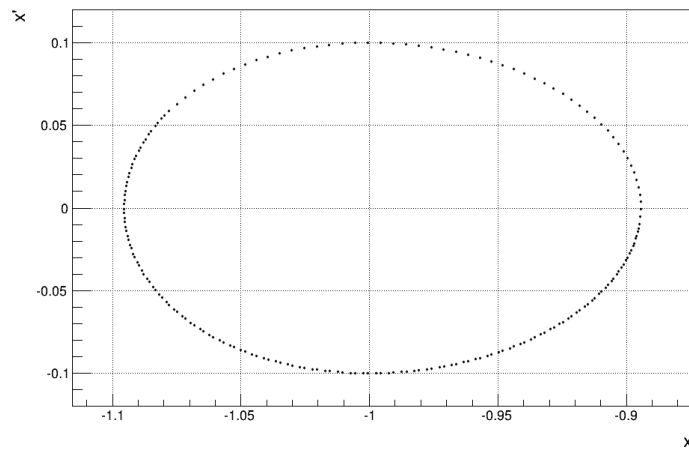


Figura 1: Diagrama de fase para $\dot{x}(0) = 0.1$.

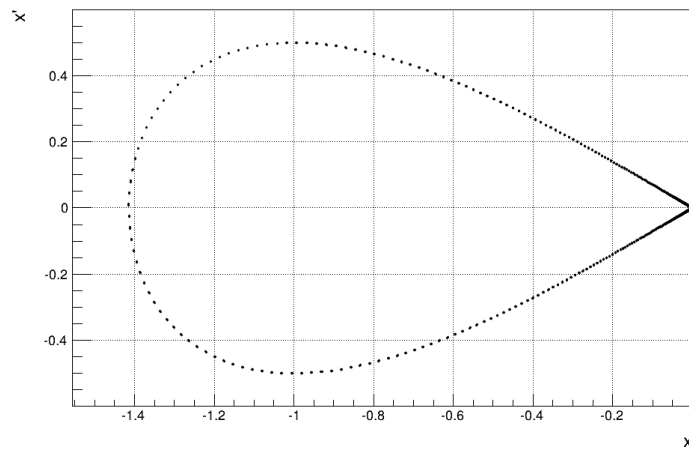


Figura 2: Diagrama de fase para $\dot{x}(0) = 0.5$.

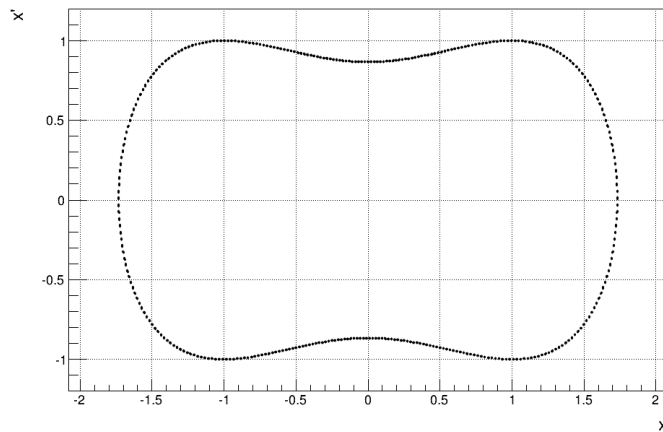


Figura 3: Diagrama de fase para $\dot{x}(0) = 1$.

Item 1 - B

Incluindo amortecimento a equação (3), tem-se:

$$\ddot{x} + 2\gamma\dot{x} - \frac{x}{2}(1 - x^2) = 0 \quad (4)$$

Procedendo de forma semelhante ao item 1 - A, porém, agora, fixando $\dot{x}(0) = 1$ e $x(0) = -1$, foram plotados dois diagramas de fase, cada qual para um valor distinto de γ . Diagramas, estes, que seguem abaixo.

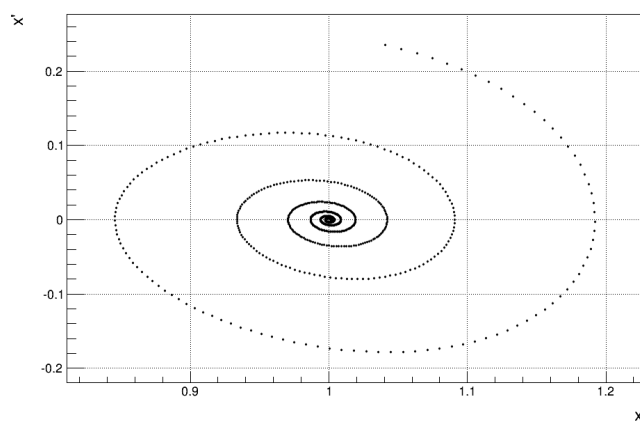


Figura 4: Diagrama de fase para $\gamma = 0.125$.

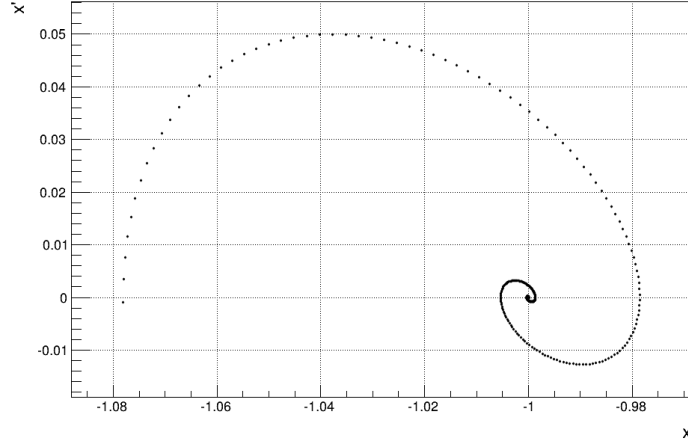


Figura 5: Diagrama de fase para $\gamma = 0.4$.

Item 1 - C

Forçando o sistema dado pela equação (4) com uma força F de período 2π , tem-se a seguinte equação:

$$\ddot{x} + 0.25\dot{x} - \frac{x}{2}(1 - x^2) = F \cos t \quad (5)$$

Tomando como condições iniciais $\dot{x}(0) = 1$ e $x(0) = -1$, foram plotados quatro diagramas de fase distintos, cada qual para um valor de F (0.22, 0.28, 0.35, 0.6). Ao plotar cada diagrama foram desconsiderados os primeiros 7000 pontos obtidos pela evolução do Runge-Kutta, com o intuito de eliminar o transiente.

Como exemplo de programa, é apresentado abaixo o código implementado para plotar o diagrama de fase quando F vale 0.6. Sendo que no programa para os demais diagramas ($F = 0.22$, $F = 0.28$, $F = 0.35$) foi modificado apenas o valor da força na função rotulada por “funcao”.

Programa 3: Implementação para plotar o diagrama de fase da equação (5) quando $F = 0.6$.

```

1  #include<stdio.h>
2  #include<math.h>
3  #define  H 0.05
4
5  double funcao (double x, double t, double v) {
6  ...return (x / 2) * (1 - pow(x, 2)) - (0.25 * v) + 0.6 * cos( t );
7  }
8
9  int main () {
10 ...int
11 .....i;
12 ...FILE
13 .....*arquivo;
14 /* v = x ' */
15 ...double
16 .....k_1v,
17 .....k_2v,
18 .....k_3v,
19 .....k_4v,
20 .....k_1x,
21 .....k_2x,
22 .....k_3x,
23 .....k_4x,
24 .....x = -1,
25 .....v = 1,
26 .....t = 0;
27
28 ...arquivo = fopen ("graf_for.txt", "w");
29 ...for (i = 0; i < 420/H; ++ i) {
30 .....k_1x = H * v;
31 .....k_1v = H * funcao (x, t, v);
32 .....k_2x = H * (v + k_1v / 2);
33 .....k_2v = H * funcao (x + k_1x / 2, t + H / 2, v + k_1v / 2);
34 .....k_3x = H * (v + k_2v / 2);
35 .....k_3v = H * funcao (x + k_2x / 2, t + H / 2, v + k_2v / 2);
36 .....k_4x = H * (v + k_3v);
37 .....k_4v = H * funcao (x + k_3x, t + H, v + k_3v);
38 .....if (i > 7000)
39 .....fprintf (arquivo, "%f\t%f\n", x, v);
40 .....v = v + (k_1v + 2 * k_2v + 2 * k_3v + k_4v) / 6;
41 .....x = x + (k_1x + 2 * k_2x + 2 * k_3x + k_4x) / 6;
42 .....t += H;
43 ...}
44 ...fclose (arquivo);

```

```

45  ...return 0;
46  }

```

Segue os diagramas de fase obtidos para cada valor distinto de F .

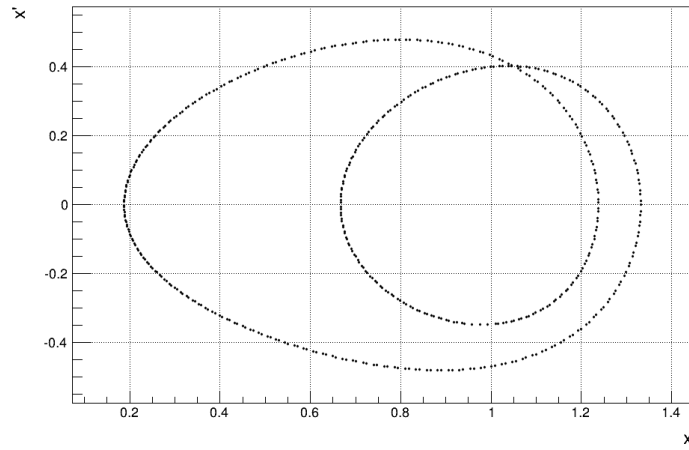


Figura 6: Diagrama de fase para $F = 0.22$.

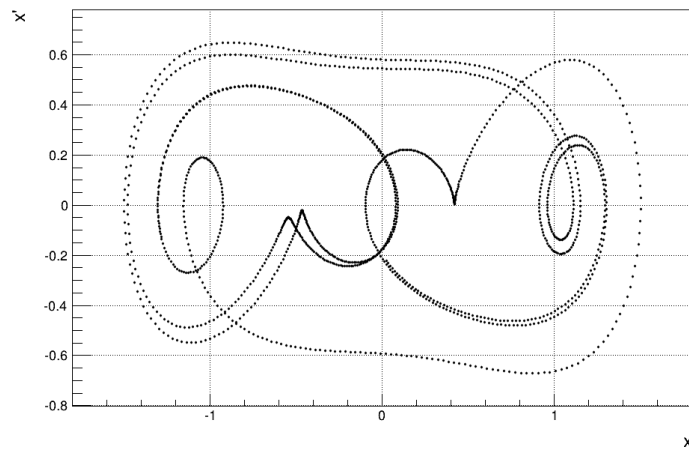


Figura 7: Diagrama de fase para $F = 0.28$.

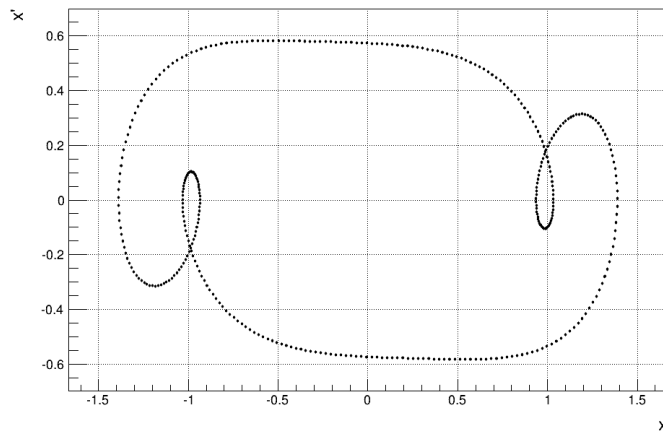


Figura 8: Diagrama de fase para $F = 0.35$.

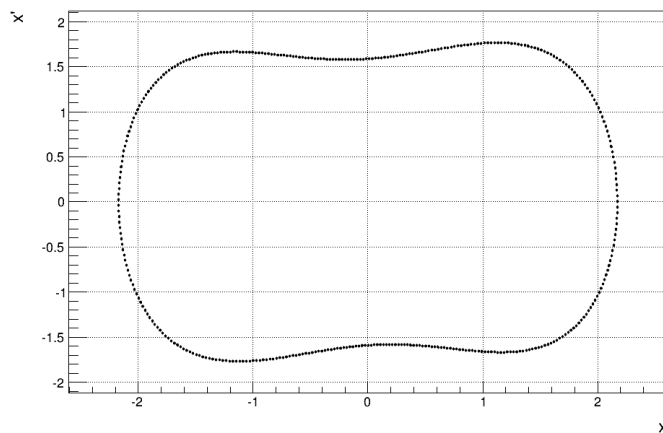


Figura 9: Diagrama de fase para $F = 0.6$.

No item 1 - A os atratores são dados pelas curvas definidas nos diagramas de fase das figuras 1, 2 e 3. No item 1 -B os atratores são os pontos, no plano $\dot{x} \times x$, $(1; 0)$ e $(-1; 0)$ para $\gamma = 0.125$ e para $\gamma = 0.4$, respectivamente. Por fim, no item 1 - C os atratores, para $F = 0.22$, $F = 0.35$ e $F = 0.6$, são dados pelas curvas definidas nos diagramas de fase das figuras 6, 8 e 9. Contudo, para $F = 0.28$ o atrator é caótico como se pode observar na figura 7.

Item 2

Partindo da equação (5) e das mesmas condições iniciais do item 1 - C é possível plotar um diagrama de bifurcação. Bastando para isso plotar sucessivas secções de Poincaré a cada período do elemento forçador F (que nesse caso é 2π) para um numero discreto de valores de F dentro de um intervalo.

Assim, foi implementado um programa que toma $[0; 0.7]$ como o intervalo de F , o qual progride em passos de 0.0005 de forma a discretizar o intervalo. A cada valor de F são plotadas 100 secções de Poincaré por periodo de F . O tempo t , por sua vez, varia de 0 a 2π (período de F) em passos de 0.002π de forma que para se completar um periodo seja necessario 1000 interações de Runge-Kutta. É ainda realizada 200000 interações de Runge-Kutta a cada novo valor de F de forma a eliminar a região de transiente. Tal programa segue logo abaixo.

Programa 4: Implementação para plotar o diagrama de fase para a equação (5).

```
1 #include<stdio.h>
2 #include<math.h>
3 #define H 6.283185E-3
4
5 double funcao (double x, double t, double v, double f) {
6 ...return (x / 2) * (1 - pow(x, 2)) - (0.25 * v) + f * cos( t );
7 }
8
9 void runge_kuta (double *x, double *t, double *v, double *f) {
10 ...double
11 .....k_1v,
12 .....k_2v,
13 .....k_3v,
14 .....k_4v,
15 .....k_1x,
16 .....k_2x,
17 .....k_3x,
18 .....k_4x;
19
20 ...k_1x = H * *v;
21 ...k_1v = H * funcao (*x, *t, *v, *f);
```

```

22  ...k_2x = H * (*v + k_1v / 2);
23  ...k_2v = H * funcao (*x + k_1x / 2, *t + H / 2, *v + k_1v / 2, *f);
24  ...k_3x = H * (*v + k_2v / 2);
25  ...k_3v = H * funcao (*x + k_2x / 2, *t + H / 2, *v + k_2v / 2, *f);
26  ...k_4x = H * (*v + k_3v);
27  ...k_4v = H * funcao (*x + k_3x, *t + H, *v + k_3v, *f);
28  ...*v = *v + (k_1v + 2 * k_2v + 2 * k_3v + k_4v) / 6;
29  ...*x = *x + (k_1x + 2 * k_2x + 2 * k_3x + k_4x) / 6;
30  ...*t += H;
31  }
32
33  int main () {
34  ...int
35  .....k,
36  .....j,
37  .....i;
38  ...FILE
39  .....*arquivo;
40  /* v = x ' */
41  ...double
42  .....f = 0,
43  .....x = -1,
44  .....v = 1,
45  .....t = 0;
46
47  ...arquivo = fopen ("graf_birf.txt", "w");
48  ...for (k = 0; k <= 1400; ++ k) {
49  .....for (j = 0; j < 200000; ++ j) {
50  .......runge_kuta (&x, &t, &v, &f);
51  .....}
52  .....for (i = 0; i < 100; ++ i) {
53  .......for (j = 0; j < 1000; ++ j) {
54  .........runge_kuta (&x, &t, &v, &f);
55  .......}
56  .....fprintf (arquivo, "%f\t%f\n", f, x);
57  .....printf ("%d\n", k);
58  .....}
59  .....f += 0.0005;
60  .....x = -1;
61  .....v = 1;
62  .....t = 0;
63  ...}
64  ...fclose (arquivo);
65  ...return 0;
66  }

```

A partir do programa acima, obteve-se o diagrama de bifurcação apresentado na figura 10.

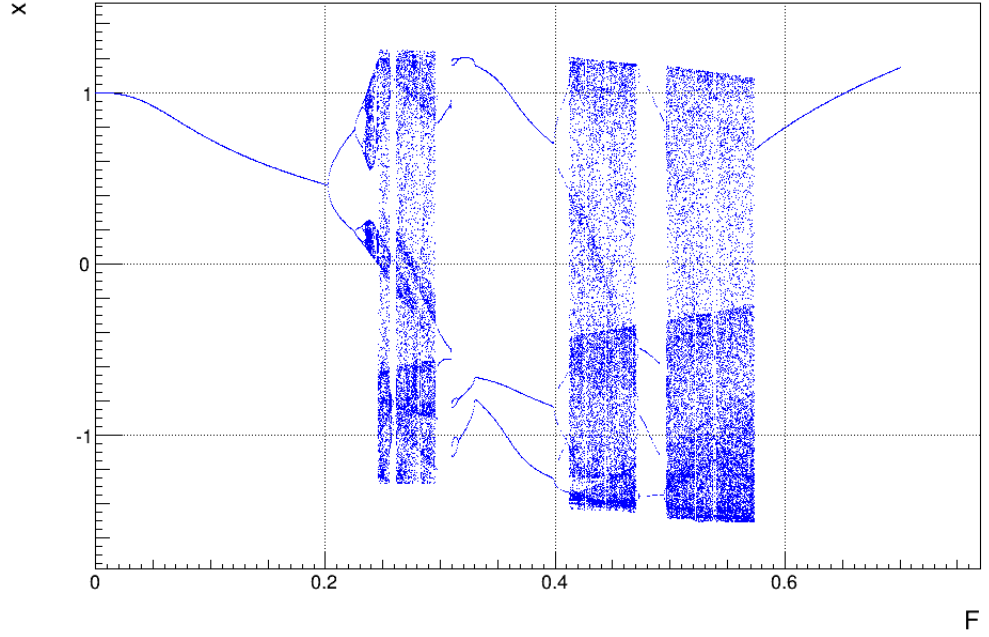


Figura 10: Diagrama de bifurcação para a equação (5).

Com o objetivo de determinar a constante de Feigenbaum (δ) a figura 10 foi ampliada de forma a analisar o intervalo $[0.232; 0.234]$ de F e o intervalo $[0.2; 0.25]$ de X , tal ampliação é apresentada na figura 11. Nesta figura são indicados dois intervalos (Δ_1 e Δ_2), que correspondem a variação de F em duas bifurcações consecutivas. Assim, tem-se que a constante de Feigenbaum é dada, aproximadamente, por:

$$\delta = \frac{\Delta_1}{\Delta_2} \quad (6)$$

A partir da leitura do gráfico apresentado na figura 11 é possível determinado o valor de $\Delta_1 = 1.64 \cdot 10^{-3}$ e $\Delta_2 = 3.8 \cdot 10^{-4}$. Portanto, partindo da equação (6), tem-se que:

$$\delta = 4.31579$$

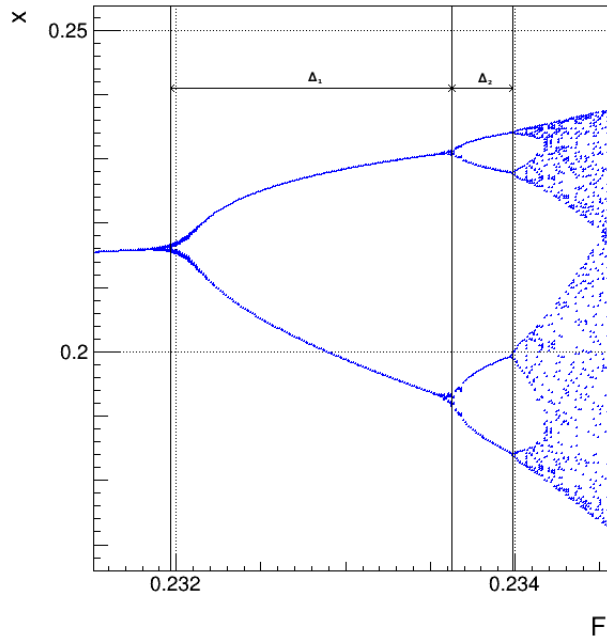


Figura 11: Ampliação do diagrama de bifurcação apresentado na figura 10.

Problema II

Para F constante, igual a 0.27, e nas mesmas condições iniciais do item 2, é possível sobrepor 2000 secções de Poincaré, onde cada secção é tomada após um ciclo do elemento forçador F .

De forma semelhante ao item 2, foram realizadas inicialmente 200000 interações de Runge-Kutta com o intuito de eliminar o transiente. A sobreposição de 2000 secções de Poincaré é apresentada na figura 12.

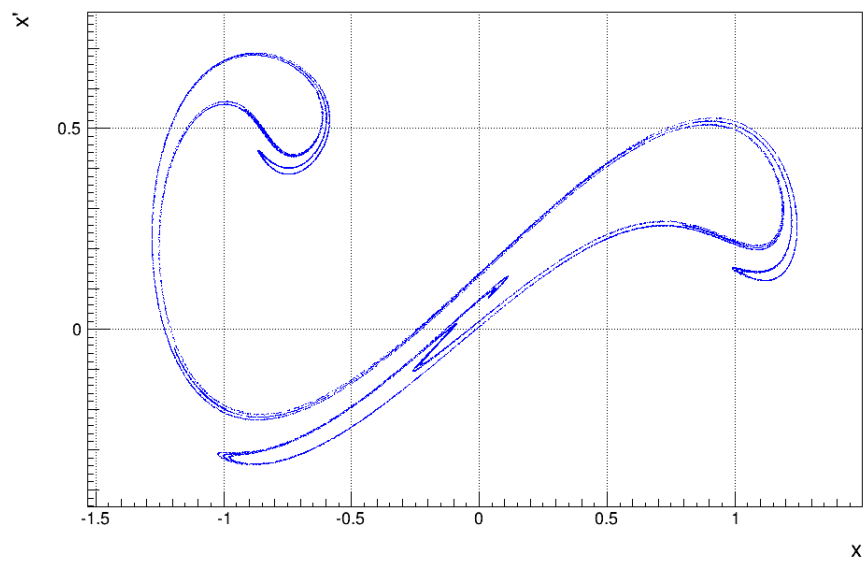


Figura 12: Sobreposição de 2000 secções de Poincaré.